

УДК 539.374+669.018.4

ТЕХНИЧЕСКАЯ ФИЗИКА

Г. В. САМСОНОВ, С. А. БОЖКО, И. П. КУШТАЛОВА

**ПЛАСТИЧЕСКАЯ ДЕФОРМАЦИЯ КАРБИДОВ  
ПРИ АЛМАЗНОМ ШЛИФОВАНИИ**

(Представлено академиком Г. В. Курдюмовым 3 VIII 1970)

Карбиды переходных металлов IV—V групп отличаются высокой твердостью и хрупкостью, что является типичным для ковалентных кристаллов. Образование и перемещение дислокаций в кристаллической решетке связано с поворотом и изгибом межатомных связей, а в ковалентных кристаллах возможность такого поворота весьма ограничена, так как при небольших изменениях валентного угла потенциальная энергия системы резко возрастает при сдвиге<sup>(1)</sup>. В связи с этим наличие ковалентной или хотя бы частично ковалентной межатомной связи вызывает значительное своеобразие в характере дислокационной структуры и механизме пластической деформации. Ряд исследований<sup>(1), (2)</sup> свидетельствует о том, что в таких

Таблица 1

Химический состав карбидов

| Карбидная фаза      | Содержание углерод-водорода, вес. % |                   |
|---------------------|-------------------------------------|-------------------|
|                     | C <sub>общ</sub>                    | C <sub>своб</sub> |
| TiC <sub>0,62</sub> | 13,46                               | 0,02              |
| TiC <sub>0,75</sub> | 15,81                               | 0,02              |
| TiC <sub>0,83</sub> | 17,23                               | 0,03              |
| TiC <sub>0,98</sub> | 19,72                               | 0,03              |
| ZrC <sub>0,62</sub> | 7,7                                 | 0,02              |
| ZrC <sub>0,72</sub> | 8,9                                 | 0,02              |
| ZrC <sub>0,8</sub>  | 9,5                                 | 0,02              |
| ZrC <sub>0,96</sub> | 11,45                               | 0,02              |
| NbC <sub>0,72</sub> | 8,56                                | 0,02              |
| NbC <sub>0,82</sub> | 9,54                                | 0,02              |
| NbC <sub>0,9</sub>  | 10,45                               | 0,02              |
| NbC <sub>0,99</sub> | 11,40                               | 0,02              |

Таблица 2

Микротвердость и глубина наклепанного слоя

| Карбидная фаза      | Глубина слоя, $\mu$ | Микротвердость, кГ/мм <sup>2</sup> |                |
|---------------------|---------------------|------------------------------------|----------------|
|                     |                     | исходная                           | после наклена  |
| TiC <sub>0,62</sub> | 28                  | 2200 $\pm$ 80                      | 2350 $\pm$ 130 |
| TiC <sub>0,75</sub> | 28                  | 2450 $\pm$ 80                      | 2600 $\pm$ 160 |
| TiC <sub>0,83</sub> | 24                  | 2900 $\pm$ 90                      | 2950 $\pm$ 140 |
| ZrC <sub>0,62</sub> | 30                  | 2200 $\pm$ 80                      | 2300 $\pm$ 130 |
| ZrC <sub>0,72</sub> | 28                  | 2450 $\pm$ 90                      | 2600 $\pm$ 120 |
| ZrC <sub>0,8</sub>  | 28                  | 2500 $\pm$ 110                     | 2600 $\pm$ 110 |
| ZrC <sub>0,96</sub> | 25                  | 2600 $\pm$ 100                     | 2650 $\pm$ 130 |
| NbC <sub>0,72</sub> | 28                  | 1800 $\pm$ 120                     | 2000 $\pm$ 110 |
| NbC <sub>0,82</sub> | 32                  | 2100 $\pm$ 100                     | 2100 $\pm$ 120 |
| NbC <sub>0,9</sub>  | 33                  | 2100 $\pm$ 130                     | 2400 $\pm$ 100 |
| NbC <sub>0,99</sub> | 28                  | 2000 $\pm$ 140                     | 2400 $\pm$ 110 |

ковалентных кристаллах, как кремний и германий, дислокации при комнатной температуре практически заморожены и могут передвигаться только в особых условиях при чрезвычайно высокой концентрации напряжений или в тонком приповерхностном слое.

В работах<sup>(3-5)</sup> было показано, что в результате шлифования абразивными и алмазными кругами в поверхностных слоях некоторых тугоплавких карбидов происходит пластическая деформация.

Так как карбиды переходных металлов IV—V групп имеют широкие области гомогенности, в пределах которых значительно изменяются силы связи в решетке и ряд физико-химических свойств, то представлялось интересным исследовать влияние поверхностного наклена на тонкую структуру карбидов в области гомогенности.

Карбиды титана, циркония и ниobia в областях их гомогенности были получены синтезом из элементов<sup>(6, 7)</sup>. Образцы с пористостью 2—8%

приготавливались горячим прессованием. Химический состав исследованных карбидных фаз приведен в табл. 1.

Поверхностный наклеп осуществлялся на плоско-шлифовальном станке ЗГ-71 кругом АСО 16-Б1-50 при режиме:  $v_{\text{кр}} = 35 \text{ м/сек}$ ,  $v_{\text{ст}} = 10 \text{ м/мин}$ ,  $v_{\text{под}} = 0,6 \text{ мм}$  на двойной ход. Глубина шлифования 0,03 мм. В указанных условиях нагрев шлифуемой поверхности был не выше 300—400° С. При такой температуре опасность изменения химического состава обрабатываемой поверхности исключается.

Для определения глубины наклеенного слоя применяли послойное травление поверхности образцов с контролем глубины стравленного слоя

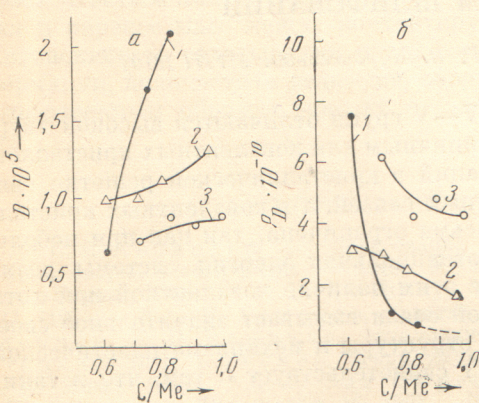


Рис. 1. Зависимость тонкой структуры деформированных карбидов от содержания углерода. *a* — размер блоков, *b* — плотность дислокаций; 1 —  $\text{TiC}_x$ , 2 —  $\text{ZrC}_x$ , 3 —  $\text{NbC}_x$

Величину истинного физического уширения  $\beta$  определяли методом аппроксимации (<sup>8</sup>). Предварительно был выполнен гармонический анализ распределения интенсивности, который показал, что это распределение для всех трех карбидов может быть описано функцией Коши

$$I = I_0 / (1 + \alpha x^2).$$

Анализ уширения линий (333) и (111) показал, что для всех исследованных карбидов отношение (333) / (111) близко к отношению секансов отражающих углов, поэтому можно считать, что величина микропискажений II рода в карбидах после поверхностного наклена незначительна, а все уширение связано с измельчением блоков; средний размер блоков рассчитывался по формуле

$$D = \lambda / \beta_{(111)} \cos \theta_{(111)}.$$

На рис. 1а приведена зависимость размера блоков после поверхностного наклена от состава карбида. Наибольшей пластичностью среди исследованных отличается карбид ниобия. Средний размер блоков в карбиде ниobia мало зависит от содержания углерода и составляет около  $(0,7-0,8) \cdot 10^{-5} \text{ см}$ . Размер блоков в образцах всех составов карбида циркония больше, чем у карбида ниобия. Для карбида циркония уже видна тенденция к увеличению пластичности в области гомогенности. Наиболее резкое увеличение пластических свойств имеет место в области гомогенности карбида титана. Если в карбиде титана состава  $\text{TiC}_{0,96}$  уширение линий в результате поверхностного наклена замечено не было, то  $\text{TiC}_{0,62}$  более пластичен, чем  $\text{ZrC}_{0,62}$ .

\* Микротвердость измерялась при нагрузке на индентор 50 Г.

на универсальном измерительном микроскопе УИМ-21 с точностью 1—2  $\mu$  и рентгенографирование поверхности (вновь образовавшейся). В табл. 2 приведена толщина наклеенного слоя для карбидов разного состава и изменение микротвердости в результате поверхностного наклена \*.

Исследование тонкой структуры карбидов после поверхностного наклена производилось на дифрактометре УРС-50ИМ в медном излучении с автоматической записью (скорость  $0,5^\circ$  в мин.). Для повышения точности регистрации интенсивности линий использовалась стандартная приставка для съемки крупнозернистых образцов с вращением. Фиксировались линии (111) и (333).

Характер изменения размеров блоков в области гомогенности исследованных карбидных фаз согласуется с изменением в этих фазах микротвердости в результате поверхностного наклена (табл. 2).

Приблизительная оценка плотности дислокаций в наклеченном слое карбидов была сделана с использованием формулы Вильямсона и Смоллмена (⁹):

$$\rho = 3n / D^2,$$

где  $n = 1$  при предположении, что все дислокации расположились в стеки и образуют равновесные блоки.

На рис. 16 приведена зависимость плотности дислокаций от состава карбидов.

С точки зрения модели твердого тела, основанной на конфигурационной локализации валентных электронов, пластичность материала повышается с увеличением концентрации нелокализованных электронов и понижением энергетической устойчивости и статистического веса стабильных электронных конфигураций локализованных электронов, определяющих жесткость и направленность связи (¹⁰).

При образовании карбидов титана, циркония и ниobia металлы являются донорами электронов, причем донорная способность их уменьшается с увеличением СВАСК  $d^5$ -конфигураций \*, т. е. от титана к цирконию и далее к ниобию. Экспериментально это было показано в работах Римквиста (¹¹). В соответствии с уменьшением донорной способности металлов уменьшается и стабилизация  $sp^3$ -конфигураций атомов углерода, которые в карбидах в большей степени, чем  $d^5$ -конфигурации ответственны за жесткость и направленность связей. Поэтому происходит увеличение пластичности от TiC к ZrC и далее к NbC.

В областях гомогенности карбидов имеет место уменьшение концентрации  $sp^3$ -конфигураций атомов углерода и увеличение концентрации нелокализованных электронов, что обусловливает рост пластических свойств карбидов.

Таким образом, при алмазном шлифовании карбидов титана, циркония и ниobia происходит поверхностный наклен, причем тонкая структура наклеченного слоя характеризуется измельчением блоков, а микроискажения незначительны. Пластичность увеличивается от TiC к ZrC и далее к NbC и растет в области гомогенности каждого карбида. Рост пластических свойств связан с уменьшением стабилизации  $sp^3$ -конфигураций атомов углерода и увеличением концентрации нелокализованных электронов.

Институт проблем материаловедения  
Академии наук УССР  
Киев

Поступило  
29 VII 1970

#### ЦИТИРОВАННАЯ ЛИТЕРАТУРА

- ¹ В. И. Трефилов, Ю. В. Мильман, В сборн. Вопросы физики металлов и металловедения, № 17, Киев, 1963, стр. 32.   ² В. П. Алехин и др., Физика и химия обработки материалов, № 3, 75 (1967).   ³ С. С. Горелик, Рекристаллизация металлов и сплавов, М., 1967.   ⁴ И. П. Кушталова, А. Н. Иванов, Порошковая металлургия, № 9, 81 (1968).   ⁵ И. П. Кушталова, А. Н. Иванов, Там же, № 2, 13 (1967).   ⁶ Г. В. Самсонов, С. А. Божко, Там же, № 7, 30 (1969).  
⁷ Г. В. Самсонов, С. А. Божко, Там же, № 3, 46 (1970).   ⁸ С. С. Горелик, Л. Н. Растиоргуев, Ю. А. Скаков, Рентгенографический и электронографический анализ металлов, М., 1963.   ⁹ G. Williamson, R. Smallman, Phil. Mag., 1, 34 (1956).   ¹⁰ G. V. Samsonov, In: Hochtemperaturwerkstoffe, G. P. Plansee, Seminar, 1968, Wien — N. Y., 1969, p. 10.   ¹¹ L. Ramqvist, B. Ehstig et al., J. Phys. Chem. Solids, 30, 1849 (1969).

\* СВАСК — статистический вес атомов со стабильными конфигурациями электронов.